

Twisted S_4 Flavor Symmetry and Large Neutrino Mixing

清水 勇介

新潟大学

2011年1月25日

余剰次元物理 2011 (Extra Dimension 2011) @大阪大学

共同研究者：石森一、谷本盛光、渡邊 篤史

- Neutrino masses and mixing from S_4 flavor twisting
(H. Ishimori, Y.S., M. Tanimoto, and A. Watanabe, arXiv:1010.3805; accepted in PRD.)

概要

1 Introduction

- ニュートリノ振動実験
- 非可換離散対称性

2 Flavor Twisting

- セットアップ
- ニュートリノセクター
- 荷電レプトンセクター

3 Summary

1. Introduction

- ニュートリノ振動実験の global fit:
(T. Schwetz, M. Tórtola, and J. W. F. Valle, hep-ph/0808.2016)

parameter	best fit	2σ	3σ	tri-bimaximal
$\sin^2 \theta_{12}$	0.318	0.29-0.36	0.27-0.38	1/3
$\sin^2 \theta_{23}$	0.50	0.39-0.63	0.36-0.67	1/2
$\sin^2 \theta_{13}$	0.013	0-0.039	0-0.053	0
$\Delta m_{\text{sol}}^2 [10^{-5} \text{eV}^2]$	7.59	7.22-8.03	7.03-8.27	*
$ \Delta m_{\text{atm}}^2 [10^{-3} \text{eV}^2]$	2.40	2.18-2.64	2.07-2.75	*

- レプトンの混合角

$$\sin^2 \theta_{12} \simeq \frac{1}{3}, \quad \sin^2 \theta_{23} \simeq \frac{1}{2}, \quad \sin^2 \theta_{13} \simeq 0.$$

Tri-bimaximal 混合 !

- レプトンフレーバー混合： tri-bimaximal 混合

$$V_{\text{tri-bi}} = \begin{pmatrix} \frac{2}{\sqrt{6}} & \frac{1}{\sqrt{3}} & 0 \\ -\frac{1}{\sqrt{6}} & \frac{1}{\sqrt{3}} & -\frac{1}{\sqrt{2}} \\ -\frac{1}{\sqrt{6}} & \frac{1}{\sqrt{3}} & \frac{1}{\sqrt{2}} \end{pmatrix}, \quad |\nu_\alpha\rangle = V_{\alpha i} |\nu_i\rangle$$

P.F. Harrison, D. H. Perkins, W. G. Scott, Phys. Lett. B **530** 167 (2002).

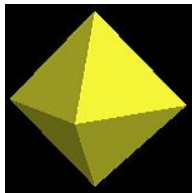
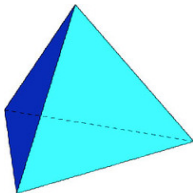
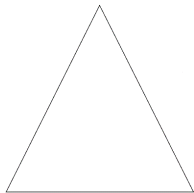
- Tri-bimaximal 混合行列を導く質量行列：
（荷電レプトンの質量行列は対角的なベースで）

$$\begin{aligned} M_\nu &= V_{\text{tri-bi}} \text{diag}(m_1, m_2, m_3) V_{\text{tri-bi}}^T \\ &= \frac{m_1}{6} \begin{pmatrix} 4 & -2 & -2 \\ -2 & 1 & 1 \\ -2 & 1 & 1 \end{pmatrix} + \frac{m_2}{3} \begin{pmatrix} 1 & 1 & 1 \\ 1 & 1 & 1 \\ 1 & 1 & 1 \end{pmatrix} + \frac{m_3}{2} \begin{pmatrix} 0 & 0 & 0 \\ 0 & 1 & -1 \\ 0 & -1 & 1 \end{pmatrix} \end{aligned}$$

非可換離散対称性

非可換離散対称性は世代間に関係がつくので、
tri-bimaximal 混合を導く： S_3 , A_4 , S_4 , \dots

- E. Ma and G. Rajasekaran, Phys. Rev. D 64, 113012 (2001).
- G. Altarelli and F. Feruglio, Nucl. Phys. B 720, 64 (2005);
Nucl. Phys. B 741, 215 (2006).



世代対称性の破れ方

- 自発的対称性の破れ (スカラー場を導入)
- 高次元空間における境界条件による破れ

境界条件による世代対称性の破れ

- Flavor Twisting: スカラー場を導入せずに世代対称性を破る。

S_3 離散対称性を用いて、tri-bimaximal 混合行列を導出

N. Haba, A. Watanabe, and K. Yoshioka, Phys. Rev. Lett. 97:041601 (2006).

S_3 離散対称性：既約表現は $1, 1', 2$

S_4 離散対称性に拡張

- 既約表現は $1, 1', 2, 3, 3'$
- パラメータの数が少なくでき、モデルの予言力を高める。
- S_3 のときとは違った質量行列の構造を得る。

S_4 離散対称性

- S_4 群の要素 : (e は単位要素)

$$P^3 = e, \quad Q^4 = e, \quad QP^2Q = P, \quad QPQ = PQ^2P$$

- S_4 の生成元 Q と P (3次元表現):

$$Q = \begin{pmatrix} -1 & 0 & 0 \\ 0 & 0 & -1 \\ 0 & 1 & 0 \end{pmatrix}, \quad P = \begin{pmatrix} 0 & 0 & 1 \\ 1 & 0 & 0 \\ 0 & 1 & 0 \end{pmatrix}$$

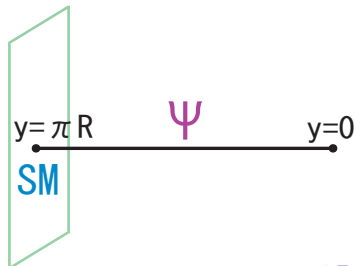
- S_4 群の全ての要素 (24個) は生成元 Q と P で書き表せる。

$$\begin{array}{llll} a_1 = Q^4, & a_2 = Q^2, & a_3 = PQ^2P^2, & a_4 = Q^2PQ^2P^2, \\ b_1 = P, & b_2 = Q^2P, & b_3 = QPQP^2, & b_4 = Q^2PQ^2, \\ c_1 = P^2, & c_2 = Q^2P^2, & c_3 = QPQ, & c_4 = Q^3PQ, \\ d_1 = PQPQ^2, & d_2 = PQP, & d_3 = Q^3, & d_4 = Q, \\ e_1 = Q^2PQ, & e_2 = PQ, & e_3 = Q^3P^2, & e_4 = QP^2, \\ f_1 = QPQ^2, & f_2 = PQP^2, & f_3 = P^2Q, & f_4 = QP. \end{array}$$

2. Flavor Twisting

セットアップ

- S^1/Z_2 の 5 次元模型
- 5 次元右巻きニュートリノ Ψ の導入 (gauge singlet)
K. R. Dienes, E. Dudas and T. Gherghetta, Nucl. Phys. B **557** 25 (1999).
N. Arkani-Hamed, et al. Phys. Rev. D **65** 024032 (2002).
- SM フェルミオンは 4 次元時空 ($y = \pi R$) に局在化



S^1/Z_2 オビフォルド

境界条件

$$\Psi_i(x, -y) = Z_{ij} \otimes \gamma_5 \Psi_j(x, y)$$

$$\Psi_i(x, \pi R - y) = Z'_{ij} \otimes \gamma_5 \Psi_j(x, \pi R + y)$$

整合条件

$$Z^2 = 1, \quad Z'^2 = 1$$

- Z と Z' は模型がもつ対称性の要素でなければならない。

- 右巻きニュートリノを含む 5 次元の Lagrangian

$$\begin{aligned}\mathcal{L}_{5D} = & i\bar{\Psi}_j \Gamma^M \partial_M \Psi_j - \frac{1}{2} \left[\bar{\Psi}_i^c (M_{ij}) \Psi_j + h.c. \right] \\ & - \frac{1}{\sqrt{\Lambda}} \left[\bar{\Psi}_i (Y_{\nu_{ij}}) L_j H + \bar{\Psi}_i^c (Y_{\nu_{ij}}^c) L_j H + h.c. \right] \delta(y - \pi R)\end{aligned}$$

- バルクフェルミオン：Kaluza-Klein(KK) モード展開

$$\Psi_i(x, y) = \begin{pmatrix} \sum_{n=0}^{\infty} \chi_{R_{ij}}^n(y) \psi_{R_j}^n(x) \\ \sum_{n=0}^{\infty} \chi_{L_{ij}}^n(y) \psi_{L_j}^n(x) \end{pmatrix}$$

- 展開係数 $\chi_{R,L}^n(y)$ は次のような規格化条件を満たす。

$$\int_0^{\pi R} dy \left[\chi_{R,L}^m \dagger \chi_{R,L}^n \right]_{ij} = \delta_{mn} \delta_{ij}$$

- 5次元方向を積分した後の Lagrangian:

$$\mathcal{L}_{4D} = iN^\dagger \sigma^\mu \partial_\mu N - \frac{1}{2} (N^T \epsilon \otimes M_N N + h.c.)$$

$$M_N = \left(\begin{array}{c|c} 0 & M_D^T \\ \hline M_D & M_H \end{array} \right) = \left(\begin{array}{c|cccc} & M_0^T & M_0^{cT} & M_1^T & M_1^{cT} & \dots \\ \hline M_0 & -M_{R00}^* & M_{K00} & & & \dots \\ M_0^c & M_{K00}^T & M_{L00} & & & \dots \\ M_1 & & & -M_{R11}^* & M_{K11} & \dots \\ M_1^c & & & M_{K11}^T & M_{L11} & \dots \\ \vdots & \vdots & \vdots & \vdots & \vdots & \ddots \end{array} \right), \quad N = \begin{pmatrix} \nu_L \\ \epsilon \psi_R^{0*} \\ \psi_L^0 \\ \epsilon \psi_R^{1*} \\ \psi_L^1 \\ \vdots \end{pmatrix}$$

ϵ は 2×2 の反対称テンソル

- 左巻きマヨラナニュートリノの質量行列 M_ν :

$$M_\nu = -M_D^T M_H^{-1} M_D$$

$M_D \ll M_H$ のとき、シーソー機構が働く。

- 運動項

$$M_{K_{mn}} = \int_0^{\pi R} dy \chi_R^{m\dagger}(y) (-\partial_y) \chi_L^n(y)$$

- マヨラナ質量項

$$M_{R_{mn}} = \int_0^{\pi R} dy \chi_R^{mT}(y) M \chi_R^n(y), \quad M_{L_{mn}} = \int_0^{\pi R} dy \chi_L^{mT}(y) M \chi_L^n(y)$$

- ディラック質量項

$$M_n = \frac{1}{\sqrt{\Lambda}} \chi_R^{n\dagger}(\pi R) m, \quad M_n^c = \frac{1}{\sqrt{\Lambda}} \chi_L^{nT}(\pi R) m^c$$

Lagrangian

$$\begin{aligned} \mathcal{L}_{5D} = & i \bar{\Psi}_j \Gamma^M \partial_M \Psi_j - \frac{1}{2} [\bar{\Psi}_i^c (M_{ij}) \Psi_j + h.c.] \\ & - \frac{1}{\sqrt{\Lambda}} [\bar{\Psi}_i (Y_{\nu_{ij}}) L_j H + \bar{\Psi}_i^c (Y_{\nu_{ij}}^c) L_j H + h.c.] \delta(y - \pi R) \end{aligned}$$

$$m_{ij} = Y_{\nu_{ij}} v, \quad m_{ij}^c = Y_{\nu_{ij}}^c v \quad (v \text{ はヒッグス場の真空期待値})$$

ニュートリノセクター

S_4 離散対称性で Flavor Twisting を考える。

- 表現の割り当て

バルクフェルミオン レプトン ヒッグス

	(Ψ_1, Ψ_2, Ψ_3)	(L_e, L_μ, L_τ)	H
$SU(2)_L$	1	2	2
S_4	3	3	1

- S_4 不変な質量パラメータ：

$$M_{ij} = M\delta_{ij}, \quad m_{ij} = m\delta_{ij}, \quad m_{ij}^c = m^c\delta_{ij}$$

- 整合条件 $Z^2 = 1$ かつ $Z'^2 = 1$ を満たす S_4 の群の要素

		Z'									
		a_1	a_2	a_3	a_4	d_1	d_2	f_1	f_3	e_1	e_4
Z	a_1										
	a_2							C_1	C_2	C_3	C_4
	a_3					C_5	C_6			C_7	C_8
	a_4					C_9	C_{10}	C_{11}	C_{12}		
	d_1			B_1	B_2			A_1	A_2	A_3	A_4
	d_2			B_3	B_4			A_5	A_6	A_7	A_8
	f_1		B_5		B_6	A_9	A_{10}			A_{11}	A_{12}
	f_3		B_7		B_8	A_{13}	A_{14}			A_{15}	A_{16}
	e_1		B_9	B_{10}		A_{17}	A_{18}	A_{19}	A_{20}		
	e_4		B_{11}	B_{12}		A_{21}	A_{22}	A_{23}	A_{24}		

- Category A と B と C は観測と合う。

- Category \mathcal{A}

$$A_9: \quad Z = f_1 = \begin{pmatrix} 0 & 0 & 1 \\ 0 & 1 & 0 \\ 1 & 0 & 0 \end{pmatrix}, \quad Z' = d_1 = \begin{pmatrix} 1 & 0 & 0 \\ 0 & 0 & 1 \\ 0 & 1 & 0 \end{pmatrix}$$

- 境界条件を満たす KK モード展開:

$$\chi_R^0(y) = \frac{1}{\sqrt{\pi R}} V \begin{pmatrix} \frac{1}{\sqrt{2}} e^{i\frac{y}{3R}} & 0 & 0 \\ \frac{1}{\sqrt{2}} e^{-i\frac{y}{3R}} & 0 & 0 \\ 0 & 0 & 1 \end{pmatrix}, \quad \chi_L^0(y) = \frac{1}{\sqrt{\pi R}} V \begin{pmatrix} \frac{1}{\sqrt{2}} e^{i\frac{y}{3R}} & 0 & 0 \\ -\frac{1}{\sqrt{2}} e^{-i\frac{y}{3R}} & 0 & 0 \\ 0 & 0 & 0 \end{pmatrix}$$

$$\chi_R^n(y) = \sqrt{\frac{2}{\pi R}} V \begin{pmatrix} \frac{1}{2} e^{i(n+\frac{1}{3})\frac{y}{R}} & \frac{1}{2} e^{-i(n-\frac{1}{3})\frac{y}{R}} & 0 \\ \frac{1}{2} e^{-i(n+\frac{1}{3})\frac{y}{R}} & \frac{1}{2} e^{i(n-\frac{1}{3})\frac{y}{R}} & 0 \\ 0 & 0 & \cos(\frac{n}{R}y) \end{pmatrix} \quad (n \geq 1)$$

$$\chi_L^n(y) = \sqrt{\frac{2}{\pi R}} V \begin{pmatrix} \frac{1}{2} e^{i(n+\frac{1}{3})\frac{y}{R}} & -\frac{1}{2} e^{-i(n-\frac{1}{3})\frac{y}{R}} & 0 \\ -\frac{1}{2} e^{-i(n+\frac{1}{3})\frac{y}{R}} & \frac{1}{2} e^{i(n-\frac{1}{3})\frac{y}{R}} & 0 \\ 0 & 0 & \sin(\frac{n}{R}y) \end{pmatrix} \quad (n \geq 1)$$

$$V = \frac{1}{\sqrt{3}} \begin{pmatrix} \omega & \omega^2 & 1 \\ 1 & 1 & 1 \\ \omega^2 & \omega & 1 \end{pmatrix}, \quad \omega \equiv e^{i2\pi/3}$$

- 左巻きマヨラナニュートリノの質量行列：

$$M_\nu = \frac{1}{\Lambda R} \left[\frac{1}{6} \frac{s|M|R}{c+1/2} \frac{m^2}{M^*} \begin{pmatrix} 4 & -2 & -2 \\ -2 & 1 & 1 \\ -2 & 1 & 1 \end{pmatrix} + \frac{1}{3} \frac{|M|R}{\tanh(\pi|M|R)} \frac{m^2}{M^*} \begin{pmatrix} 1 & 1 & 1 \\ 1 & 1 & 1 \\ 1 & 1 & 1 \end{pmatrix} \right. \\ \left. - \frac{1}{2} \frac{s|M|R}{c+1/2} \frac{(m^c)^2}{M} \begin{pmatrix} 0 & 0 & 0 \\ 0 & 1 & -1 \\ 0 & -1 & 1 \end{pmatrix} - \frac{1}{2} \frac{|M|R}{c+1/2} \frac{mm^c}{|M|} \begin{pmatrix} 0 & 1 & -1 \\ 1 & -1 & 0 \\ -1 & 0 & 1 \end{pmatrix} \right],$$

$$c \equiv \cosh(2\pi|M|R), \quad s \equiv \sinh(2\pi|M|R)$$

- Tri-bimaximal 混合行列でニュートリノ質量行列を回転：

$$M_\nu = \frac{-|M|}{\Lambda} V_{\text{tri-bi}} \begin{pmatrix} \frac{-2s}{2c+1} \frac{m^2}{M^*} & 0 & \frac{\sqrt{3}}{2c+1} \frac{mm^c}{|M|} \\ 0 & \frac{-1}{\tanh(\pi|M|R)} \frac{m^2}{M^*} & 0 \\ \frac{\sqrt{3}}{2c+1} \frac{mm^c}{|M|} & 0 & \frac{2s}{2c+1} \frac{(m^c)^2}{M} \end{pmatrix} V_{\text{tri-bi}}^T$$

ディラック質量 m^c

- $m^c = 0 \rightarrow$ 逆階層型 ($m_3 = 0$)
- $m^c \neq 0 \rightarrow$ 混合は tri-bimaximal からずれる。

- ニュートリノの質量固有値： $r \equiv |m^c|/|m|$

$$m_1 = \frac{|m|^2}{\Lambda} \frac{1}{2c+1} \left| s(1-r^2) + \sqrt{s^2(1+r^2)^2 + 3r^2} \right|,$$

$$m_2 = \frac{|m|^2}{\Lambda} \frac{1}{2c+1} \left[\frac{2c+1}{\tanh(\pi|M|R)} \right],$$

$$m_3 = \frac{|m|^2}{\Lambda} \frac{1}{2c+1} \left| s(1-r^2) - \sqrt{s^2(1+r^2)^2 + 3r^2} \right|$$

- ニュートリノの世代混合： ρ, σ は質量パラメータの位相

$$U_{e2} = \frac{1}{\sqrt{3}} e^{i\rho}, \quad U_{e3} = \frac{2i}{\sqrt{6}} \sin\theta e^{i\rho}, \quad U_{\mu 3} = -i \left(\frac{1}{\sqrt{2}} \cos\theta e^{i\sigma} + \frac{1}{\sqrt{6}} \sin\theta e^{i\rho} \right)$$

数値解析

- パラメータ： $\frac{|m|^2}{\Lambda}, |M|R, r$
- 観測量： $\Delta m_{\text{sol}}^2, |\Delta m_{\text{atm}}^2|, \sum_i m_i$

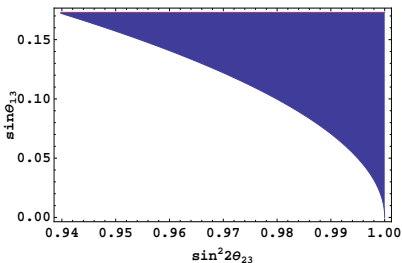
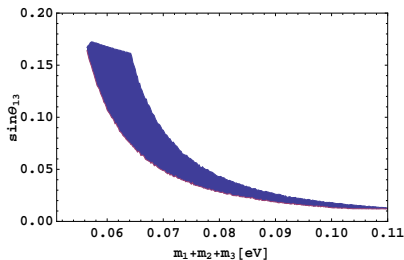
数値解析（順階層型）

Input

- ニュートリノ振動実験の global fit の 3σ (eV^2)

$$7.03 \times 10^{-5} \leq \Delta m_{\text{sol}}^2 \leq 8.27 \times 10^{-5}$$

$$2.07 \times 10^{-3} \leq |\Delta m_{\text{atm}}^2| \leq 2.75 \times 10^{-3}$$



- 実験の 3σ : $\sin \theta_{13} \leq 0.23$, $0.88 \leq \sin^2 2\theta_{23} \leq 1$

荷電レプトンセクター

- S_4 表現の割り当て：

	e_R	(μ_R, τ_R)	(L_e, L_μ, L_τ)	H	(ϕ_1, ϕ_2, ϕ_3)
$SU(2)_L$	1	1	2	2	1
S_4	1	2	3	1	3

- S_4 不変な Lagrangian:

$$\mathcal{L} = \frac{Y_s}{\Lambda} \bar{e}_R (L_e \phi_1 + L_\mu \phi_2 + L_\tau \phi_3) H^* \quad \mathbf{1 \otimes 3 \otimes 3 \otimes 1}$$

$$+ \frac{Y_d}{\Lambda} [(\bar{\mu}_R + \bar{\tau}_R) L_e \phi_1 + (\omega^2 \bar{\mu}_R + \omega \bar{\tau}_R) L_\mu \phi_2 + (\omega \bar{\mu}_R + \omega^2 \bar{\tau}_R) L_\tau \phi_3] H^*$$

$$\quad \mathbf{2 \otimes 3 \otimes 3 \otimes 1}$$

- 荷電レプトンの質量行列： $\alpha_i \equiv \langle \phi_i \rangle / \Lambda$, $\langle H \rangle = v$

$$M_\ell = v Y_s \begin{pmatrix} \alpha_1 & \alpha_2 & \alpha_3 \\ 0 & 0 & 0 \\ 0 & 0 & 0 \end{pmatrix} + v Y_d \begin{pmatrix} 0 & 0 & 0 \\ \alpha_1 & \omega^2 \alpha_2 & \omega \alpha_3 \\ \alpha_1 & \omega \alpha_2 & \omega^2 \alpha_3 \end{pmatrix}$$

- $M_\ell^\dagger M_\ell$:

$$M_\ell^\dagger M_\ell = v^2 \begin{pmatrix} (|Y_s|^2 + 2|Y_d|^2) \alpha_1^2 & (|Y_s|^2 - |Y_d|^2) \alpha_1 \alpha_2 & (|Y_s|^2 - |Y_d|^2) \alpha_1 \alpha_3 \\ (|Y_s|^2 - |Y_d|^2) \alpha_1 \alpha_2 & (|Y_s|^2 + 2|Y_d|^2) \alpha_2^2 & (|Y_s|^2 - |Y_d|^2) \alpha_2 \alpha_3 \\ (|Y_s|^2 - |Y_d|^2) \alpha_1 \alpha_3 & (|Y_s|^2 - |Y_d|^2) \alpha_2 \alpha_3 & (|Y_s|^2 + 2|Y_d|^2) \alpha_3^2 \end{pmatrix}$$

質量と混合

- 荷電レプトンの質量: $\alpha_1 \ll \alpha_2 \ll \alpha_3$

$$\alpha_1 v \sim m_e, \quad \alpha_2 v \sim m_\mu, \quad \alpha_3 v \sim m_\tau$$

- 荷電レプトンの混合:

$$\theta_{12}^\ell \sim \mathcal{O}(m_e/m_\mu), \quad \theta_{13}^\ell \sim \mathcal{O}(m_e/m_\tau), \quad \theta_{23}^\ell \sim \mathcal{O}(m_\mu/m_\tau)$$

3. Summary

結論

- 世代対称性の破れは5次元時空におけるバルクの右巻きニュートリノの境界条件によって引き起こされる。
- $\sin \theta_{13}$ が大きいとニュートリノは順階層型である。
- θ_{13} と θ_{23} に相関がある。

展望

- 荷電レプトンセクターを明瞭にする。
- 高次元の枠組みにおいて、クォークセクターを議論する。
- 6次元模型を考える。(T^2/Z_3)

典型的な非可換離散群

H. Ishimori, T. Kobayashi, H. Ohki, H. Okada, Y. S., M. Tanimoto, Prog. Theor. Phys. Suppl. 183:1-163 (2010).

- 対称群 S_n (群の要素の数 : $n!$)

	要素の数	幾何学的構造	既約表現
S_3	6	正三角形	$1, 1', 2$
S_4	24	正八面体	$1, 1', 2, 3, 3'$

- 偶置換の群 A_n (群の要素の数 : $n!/2$)

	要素の数	幾何学的構造	既約表現
A_4	12	正四面体	$1, 1', 1'', 3$

- T' 群

	要素の数	幾何学的構造	既約表現
T'	24		$1, 1', 1'', 2, 2', 2'', 3$